

АКАДЕМИЯ НАУК СССР
НАУЧНЫЙ СОВЕТ
ПО ПРОБЛЕМАМ БИОЛОГИЧЕСКОЙ ФИЗИКИ
ИНСТИТУТ БИОЛОГИЧЕСКОЙ ФИЗИКИ

БИОФИЗИКА
И
БИОХИМИЯ
МЫШЕЧНОГО
СОКРАЩЕНИЯ



ИЗДАТЕЛЬСТВО «НАУКА» МОСКВА 1976

летных мышцах снижается уровень МП и величины ПД (рис. 5) при соответствующем снижении содержания суммарного белка в мышцах до 18—16 г %. Постепенно скелетные мышцы теряют способность реализовывать 2-ю форму избыточного анаболизма, которая нами оценивалась по выраженности начального расслабления, следовой гиперполяризации и гиперрелаксации, что приводило к снижению ПР мышц. Снижение двигательной активности при старении приводит к постепенной атрофии скелетных мышц и, следовательно, к падению относительной величины общей мышечной массы (до 34—38 %).

Л и т е р а т у р а

1. I. Prigogin, J. M. Weare.— Experientia, 1946, 2, 11, 451.
2. И. Пригожин.— В кн.: Возникновение жизни на Земле. М., Изд-во АН СССР, 1959, с. 408.
3. И. А. Аршавский.— Ж. эволюц. биохим. и физиол., 1966, 2, 511.
4. И. А. Аршавский. Очерки по возрастной физиологии. М., «Медицина», 1967.
5. И. А. Аршавский.— Усп. физиол. наук, 1971, 2, 100.
6. В. П. Скулачев. Трансформация энергии в биомембранах. М., «Наука», 1972.
7. И. И. Иванов, В. А. Юрьев.— Биохимия и патобиохимия мышц. Л., Медгиз, 1961.
8. И. И. Иванов, Ю. Ю. Кееринг, В. И. Брагин.— Ж. эволюц. биохим. и физиол., 1967, 3, 193.
9. S. Schiaffino, A. Margaret.— J. Cell Biol., 1969, 41, 855.
10. D. L. Holland, S. V. Perry.— Biochem. J., 1969, 114, 161.
11. M. Szaboles, A. Köver, L. Kovacs.— Acta biochim. et biophys. Acad. sci. Hung., 1967, 2, 409.
12. Н. В. Даринский.— Бюлл. эксперим. биол. и мед., 1973, 9, 19.

МЕХАНИЗМ РЕГУЛЯЦИИ АКТИВНОСТИ СОКРАТИТЕЛЬНЫХ БЕЛКОВ

В. И. ДЕЩЕРЕВСКИЙ

Институт биологической физики АН СССР, Пущино

В последние годы достигнут определенный прогресс в понимании молекулярного механизма, регулирующего сокращение мышц. Выяснены белковый состав регуляторного комплекса, роль отдельных компонент [1] и даже геометрии конформационной перестройки, индуцируемой кальцием [2, 3]. В результате этих структурных по своей сути исследований была сформулирована механическая модель, согласно которой тропомиозиновый тяж в отсутствие кальция стерически блокирует актиновые центры. Когда же тропонин связывает кальций, тяж сдвигается и уже не препятствует взаимодействию актина с миозином. Эта модель

чрезвычайно привлекательна своей простотой, однако при исследовании кинетики гидролиза АТФ актомиозиновыми (АМ) системами, содержащими регуляторные белки, были обнаружены факты, которые не укладываются в столь простую схему.

В работах [4, 5] показано, что: 1) кооперативный характер кинетики гидролиза сохраняется и в том случае, когда используется одноцентровый фрагмент молекулы миозина (S1); 2) при низкой концентрации субстрата ($Mg - AT\bar{F}$) система полностью активирована даже в отсутствие кальция; 3) даже избыток кальция не способен полностью предотвратить субстратное ингибирование, а лишь сдвигает его в область более высоких концентраций субстрата. Если эти факты интерпретировать в терминах механической модели, о которой говорилось выше, то из них следует, что, во-первых, смещение тропомиозина может происходить и без участия кальция и, во-вторых, кальций сам по себе не способен вызвать смещение тропомиозинового тяжа, достаточное для полного освобождения актиновых центров.

Для объяснения кинетических экспериментов Бремелю и сотрудникам [5] пришлось постулировать сложную картину взаимодействия белков в тонких нитях, резко контрастирующую с простотой механической модели. В настоящей работе предлагается простая и естественная с физической точки зрения модификация этой модели, которая позволяет рассчитывать ферментативную и сократительную активности мышечных белков (и эти расчеты согласуются с известными экспериментальными данными) и не противоречит результатам структурных исследований.

Суть ее заключается в признании того факта, что белковые макромолекулы, в частности молекулы тропомиозина, являются микрообъектами и вследствие этого подвержены тепловым флуктуациям. Поэтому те два положения тропомиозинового тяжа, которые он занимает в присутствии и в отсутствие кальция, не являются строго фиксированными. Эти положения являются равновесными, и тропомиозин проводит в них большую часть времени (поэтому они и выявляются при рентгеновском исследовании), но в результате флуктуаций тропомиозиновый тяж может смещаться из равновесных положений.

Модель основана на двух предложениях: первое — актиновые центры открыты для взаимодействия с миозином («включены») только во время флуктуационного смещения тропомиозинового тяжа в равновесное положение, и второе — все соседние актиновые центры, которыми управляет один и тот же тропонин — тропомиозиновый комплекс, оказываются включенными, независимо от того, связан с тропонином кальций или нет.

Будем считать, что тонкая нить состоит из независимых функциональных единиц (ФЕ) [4], каждая из которых содержит l актиновых (A) центров, управляемых одним тропонином — тропомиозиновым комплексом (l обычно считается равным 7 [4]). Наша модель приводит к линейной кинетической диаграмме переходов

ФЕ между $(l + 2)$ состояниями:

$$R_r \rightleftharpoons a_0 \xrightleftharpoons[\delta]{\gamma} a_1 \xrightleftharpoons[2\delta]{(l-1)\gamma} \cdots \xrightleftharpoons[i\delta]{(l-i+1)} a_i \xrightleftharpoons[(i+1)\delta]{(l-i)\gamma} \cdots \xrightleftharpoons[l\delta]{\gamma} a_l, \quad (1)$$

где R — это релаксированное состояние ФЕ, в котором все А-центры выключены. В результате флуктуации ФЕ переходит в состояние a_0 , в котором все А-центры включены, но ни один еще не связан с миозином. Вероятность этого перехода тем больше, чем меньше величина Са-зависимой константы ингибирования r . Если к ФЕ в состоянии a_0 присоединяется S1, то она переходит в состояние a_1 , в котором все А-центры включены и один из них связан с миозиновой головой. Поскольку в состоянии a_0 все l А-центров свободны, то константа скорости перехода в a_1 будет в l раз больше, чем γ -константа скорости присоединения S1 к одному А-центру. Эта последняя константа отражает бимолекулярный процесс и потому должна быть пропорциональна концентрации свободных миозиновых голов [M]:

$$\gamma = K_1 [M]. \quad (2)$$

При дальнейшем присоединении миозиновых голов к свободным А-центрам ФЕ переходит в состояния a_2 , a_3 и т. д. до a_l . При отсоединении миозиновых голов происходят переходы в обратном направлении с константой скорости, пропорциональной числу связанных с субфрагментом-1 А-центров в ФЕ. Вычисление скорости расщепления АТФ основано на предположении, что каждый цикл образования и распада АМ-комплекса сопряжен с гидролизом одной молекулы. Это предположение было выдвинуто в работе [6], и там же было показано, что эффективная константа скорости диссоциации отдельного АМ-комплекса δ зависит от концентрации субстрата S. Анализ схемы Лимна и Тейлора [7] показывает, что эта зависимость выражается кривой типа Михаэлиса — Метен:

$$\delta = \frac{K_2 K_3 S}{K_2 + K_3 S}, \quad (3)$$

где K_2 — константа скорости отсоединения продуктов гидролиза от АМ-комплекса, а K_3 — константа скорости присоединения к нему Mg — АТФ.

Из формулы (1) нетрудно рассчитать стационарные концентрации АМ-комплексов a и свободных «включенных» А-центров α , а также частоту образования или распада АМ-комплексов, т. е. скорость гидролиза АТФ v :

$$a = [A_0] \frac{g(1+g)^{l-1}}{r+(1+g)^l}, \quad (4)$$

$$\alpha = [A_0] \frac{(1+g)^{l-1}}{r+(1+g)^l} = a/g, \quad (5)$$

$$v = \gamma [A_0] \frac{(1+g)^{l-1}}{r+(1+g)^l} = \gamma \alpha, \quad (6)$$

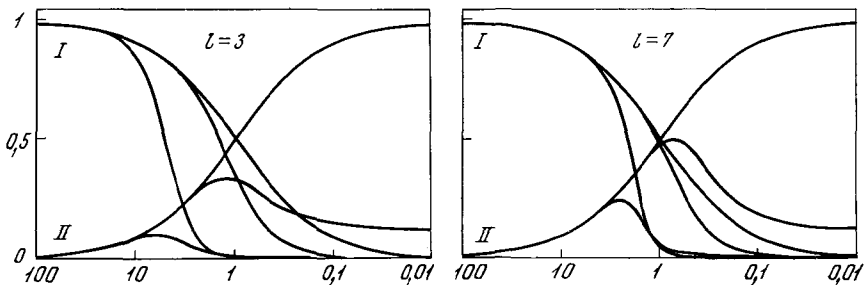


Рис. 1. Зависимость доли актомиозиновых комплексов a/A_0 (семейство кривых I) и относительной скорости гидролиза АТФ $v/\gamma A_0$ (семейство кривых II) от эффективной равновесной константы ассоциации актомиозинового комплекса g при разных величинах параметра ингибирования r

Для верхней кривой каждого¹ семейства $r = 0$, для средней $r = 8$ и для нижней $r = 2000$. Семейство кривых II отражает также зависимость доли свободных включенных актиновых центров a/A_0 от g . Величина параметра «кооперативности» l равна числу актиновых центров в функциональной единице тонкой пыти

где $[A_0]$ — полная концентрация А-центров, $g = \gamma/\delta$ — эффективная равновесная константа ассоциации А и М, зависящая от концентрации S1 и Mg — АТФ. Зависимости $a/[A_0]$ и $a/[A_0] = v/\gamma[A_0]$ от величины этой константы приведены на рис. 1.

Пользуясь формулами (4) — (6), можно для каждого заданного g рассчитать скорость гидролиза АТФ и полную концентрацию субстрата при любых соотношениях актина и миозина. Для этой цели последовательно вычисляются следующие величины. 1. Концентрация АМ-комплексов a определяется по формуле (4). 2. Концентрация не связанных с актином М-центров составляет $[M] = [M_0] - a$. 3. Эффективная константа скорости образования АМ-комплексов равна $\gamma = K_1[M]$. В настоящей работе не учитываются возможные различия в кинетике присоединения к актину свободного от нуклеотида миозина, продуктного и интермедиатного комплексов миозина с фосфатом и АДФ. 4. Скорость гидролиза АТФ вычисляется по формуле (6). 5. Эффективная константа скорости диссоциации АМ-комплексов $\delta = \gamma/g$. 6. Концентрация свободного субстрата $S = K_2\delta/K_3$ ($K_2 = \delta$) в соответствии с формулой (3). 7. Концентрация связанного с М и АМ нуклеотида равна

$$S_M = \frac{K_3 S}{K_3 S + V/[M_0]} [M_0].$$

При выводе этой формулы предполагается, что константа скорости связывания Mg — АТФ с М и АМ одинакова и равна K_3 , диссоциацией субстрата и скоростью миозиновой АТФ-азы можно пренебречь по сравнению со скоростью гидролиза АТФ актомиозином v , которая и обусловливает полностью диссоциацию нуклеотида от белка. 8. Полная концентрация нуклеотида в системе,

которая равна экспериментально задаваемой концентрации субстрата, определяется как $S_{\text{эксп}} = S + S_M$. (Считается, что весь свободный нуклеотид находится в форме Mg — АТФ благодаря наличию регенеративной системы, например, креатинфосфата и креатинкиназы.)

Таким образом, вычисляя v и $S_{\text{эксп}}$ для последовательного ряда значений g , можно получить зависимость стационарной скорости гидролиза АТФ от концентрации субстрата при разных концентрациях А и М и при разных значениях константы ингибирования r . На рис. 2 приведены рассчитанные таким образом кривые и экспериментальные точки из работ [4] и [5], указаны экспериментальные условия и величины констант, при которых производились расчеты.

Из рисунка видно, что расчетные кривые воспроизводят основные кинетические особенности системы, обнаруженные в работах [4] и [5]. В том случае, когда актин не содержит регуляторных белков (рис. 2, а, б), зависимость скорости гидролиза от концентрации субстрата описывается кривой с насыщением типа Михаэлиса — Ментен, чему соответствует $r = 0$, т. е. ингибирование отсутствует, и все актиновые центры свободно взаимодействуют с миозином. Если актин содержит регуляторные белки, поведение системы зависит от уровня кальция и в еще большей степени от концентрации субфрагмента-1 миозина.

Низкому уровню кальция соответствует величина параметра ингибирования $r = 2000$ (рис. 2, в, г), а высокому — $r = 8—10$. Концентрация «включенных» актиновых центров может меняться от $1/r$ до единицы при изменении степени связывания актина с миозином, которая зависит как от концентрации свободного S1, так и от уровня Mg — АТФ. При низкой концентрации субстрата константа скорости диссоциации АМ близка к нулю. Если при этом миозина достаточно для того, чтобы на каждую ФЕ приходилось хотя бы по одному А-центру, связанному с миозином, то весь актин находится во «включенном» состоянии. С ростом концентрации Mg — АТФ константа скорости диссоциации АМ-комплекса увеличивается. Когда она сравнивается по величине с константой ассоциации А и М, которая пропорциональна концентрации свободных миозиновых центров, происходит резкий переход ФЕ в выключенное состояние, и скорость гидролиза уменьшается (см. рис. 1). Этим объясняется колоколообразная форма кривых зависимости скорости гидролиза АТФ от концентрации субстрата.

Колоколообразность исчезает в двух предельных случаях: 1) при очень низкой (абсолютно или относительно актина) концентрации S1, в этом случае степень занятости ФЕ миозином ниже критического уровня, и во «включенном» состоянии при любом уровне субстрата находится $1/r$ доли всего актина; 2) при очень высокой (абсолютно и относительно актина) концентрации S1, в этом случае даже при насыщающей концентрации субстрата, когда константа

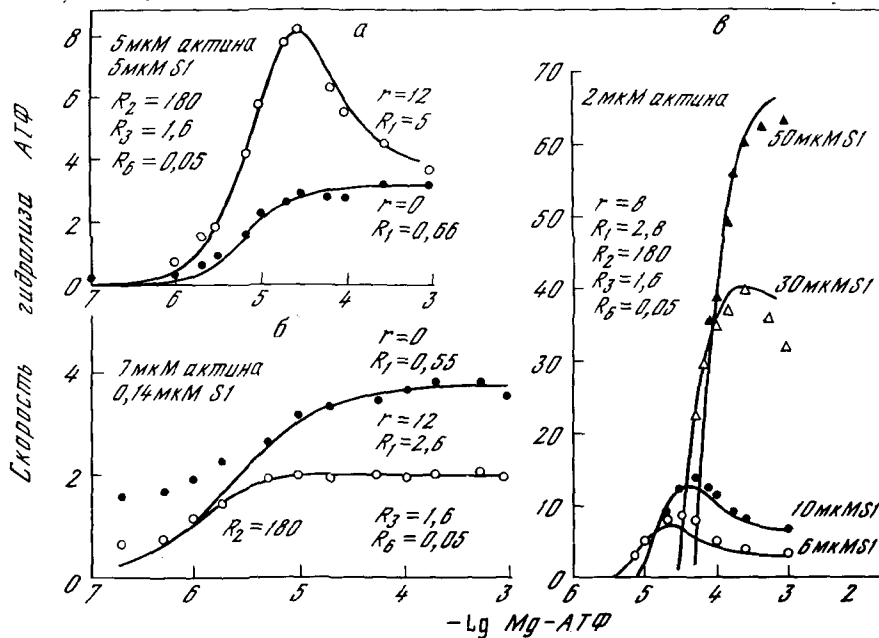


Рис. 2. Зависимость стационарной скорости гидролиза АТФ от концентрации субстрата

a, в—е — скорость выражена в молях АТФ, гидролизованной за 1 сек., на моль актиновых центров; *б, ж* — в молях АТФ, гидролизованной за 1 сек., на моль субфрагмента-1. Сплошные линии — расчетные кривые. Точки — экспериментальные данные из работ [4, 5]. Величины констант, использованные при расчетах, и концентрации актина и субфрагмента-1 (S1) приведены около соответствующих кривых. Черные кружки на *a, б* получены на актине, не содержащем регуляторных белков; белые кружки на *е, ж* получены при концентрации Ca^{2+} менее 10^{-8} М. Остальные кривые получены при концентрации Ca^{2+} 10^{-4} М

скорости диссоциации АМ-комплекса достигает максимальной величины, степень занятости ФЕ миозином достаточна для их полной активации. При увеличении концентрации S1 в промежуточной области максимальная скорость гидролиза АТФ растет, и положение максимума сдвигается в зону более высоких концентраций субстрата.

Таким образом, выводы модели качественно согласуются с экспериментальными данными. Кроме того, удается получить удовлетворительное соответствие расчетных и экспериментально наблюдавшихся скоростей гидролиза АТФ в разных условиях при незначительном изменении элементарных констант скоростей. Разброс значений этих констант и систематическое отклонение расчетных кривых от экспериментальных в области малых концентраций субстрата, по мнению Бремеля, обусловлено гетерогенностью препаратов белков, которая не учитывается в данной модели.

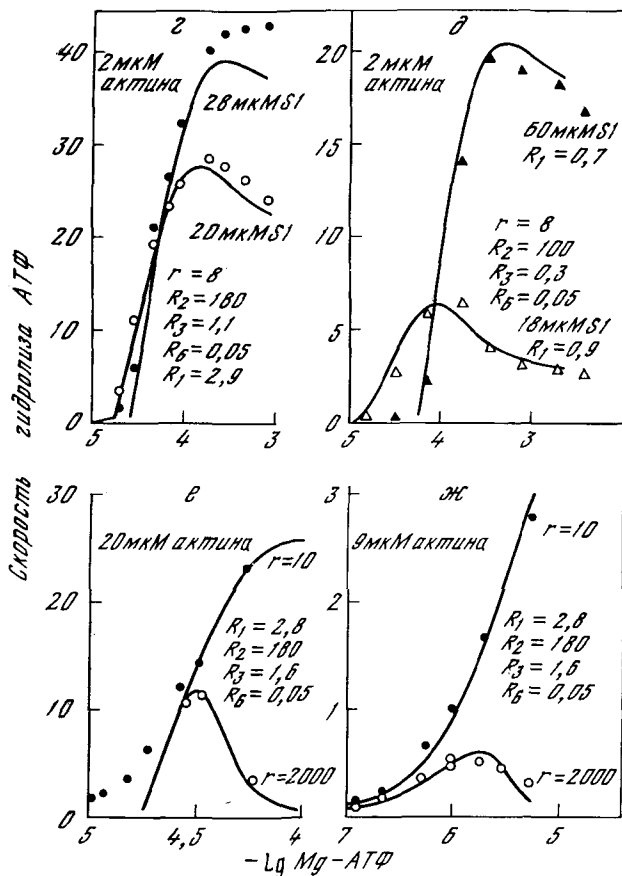


Рис. 2 (окончание)

Интересно отметить следующее обстоятельство. При описании системы приходится предположить, что константа скорости присоединения головы миозина к «включенному» А-центру в ФЕ тонкой нити почти в 5 раз больше, чем к нерегулируемым А-центрам в Ф-актине, не содержащим регуляторных белков (рис. 2, а, б). Кроме того, константа скорости диссоциации продуктов гидролиза от АМ-комплекса в экспериментах Бремеля и сотрудников [4, 5] почти в 10 раз превышает величину этой константы, определяемой из экспериментов Айзенберга и Муса по активации АТФ-азы ТММ нерегулируемым Ф-актином [7]. Величина этой константы оказывается достаточной для объяснения скорости размыкания миозиновых мостиков в сокращающейся без нагрузки мышце.

Анализ показывает, что механизм регуляции состояния актина нативным тропомиозином необходимо учитывать при описании сокращения нативной мышцы даже в состоянии максимальной

активации. В частности, действием регуляторной системы можно объяснить уменьшение скорости энергопродукции мышцы при увеличении скорости сокращения в области малых нагрузок [8]. По-видимому, существенную роль регуляторный механизм играет и в генерации автоколебаний летательными мышцами насекомых.

Приношу искреннюю благодарность профессору Э. Э. Шнолю и Е. А. Умновой из НИВЦ АН СССР за помощь в выполнении расчетов.

Л и т е р а т у р а

1. *J. D. Potter, J. Gergely*.— Biochemistry, 1974, **13**, 2697.
2. *J. Hanson, V. Ledner, E. J. O'Brien, P. M. Bennett*.— Cold Spring Harbor Sympos. Quant. Biol., 1973, **37**, 311.
3. *J. A. Spudich, H. E. Huxley, J. T. Finch*.— J. Mol. Biol., 1972, **72**, 619.
4. *R. D. Bremel, A. Weber*.— Nature New Biol., 1972, **238**, 97.
5. *R. D. Bremel, J. M. Murray, A. Weber*.— Cold Spring Harbor Sympos. Quant. Biol., 1973, **37**, 267.
6. *A. E. Букатина, В. И. Дещеревский*.— Биофизика, 1972, **17**, 738.
7. *R. W. Lymn, E. W. Taylor*.— Biochemistry, 1971, **10**, 4617.
8. *A. V. Hill*.— Proc. Roy. Soc. London, 1964, **B159**, 297.

МОЛЕКУЛЯРНЫЙ МЕХАНИЗМ СОКРАЩЕНИЯ ПОПЕРЕЧНО-ПОЛОСАТЫХ МЫШЦ

А. С. ДАВЫДОВ

Институт теоретической физики АН УССР, Киев

До настоящего времени нет полного понимания на молекулярном уровне механизма мышечного сокращения. В этой работе делается попытка объяснения механизма сокращения наиболее хорошо изученных поперечно-полосатых мышц.

Каким образом процесс гидролиза молекул АТФ на головках миозиновых молекул приводит к силам, вызывающим скольжение тонких нитей относительно толстых? На этот вопрос было предложено несколько описательных ответов без анализа молекулярного механизма возникновения сил. Наиболее распространено в настоящее время представление о том, что при гидролизе молекулы АТФ головка миозиновой молекулы удлиняется, образует связь с глобулярной молекулой актина, затем поворачивается (или сокращается), передвигая актиновое волокно относительно миозинового, отсоединяется от актиновой молекулы, возвращаясь к прежнему размеру и положению в толстой нити, затем присоединяет новую молекулу АТФ и подготавливается тем самым к новому циклу. Согласно этой «весельной модели», скольжение тонких волокон относительно толстых напоминает движение воды около лодки с гребцами, сидящими на концах лод-